

СЗ45Л + СЗ45Г
Д-659

3105/84



Доля С.Н.и.зр.
Б1-9-84-175.

ОБЪЕДИНЕННЫЙ ИНСТИТУТ ЯДЕРНЫХ ИССЛЕДОВАНИЙ

+

Б 1-9-84-175

ДЕПОНИРОВАННАЯ ПУБЛИКАЦИЯ

345 u2

ОБЪЕДИНЕННЫЙ ИНСТИТУТ ЯДЕРНЫХ ИССЛЕДОВАНИЙ

Отдел новых методов ускорения

С.Н.Доля, Е.П.Жидков, С.Б.Рубин, Х.И.Семерджиев

51-9-84-175

МОДЕЛИРОВАНИЕ ПЕРЕХОДНЫХ ПРОЦЕССОВ ПРИ ИНЖЕКЦИИ
РЕЛЯТИВИСТСКОГО ЭЛЕКТРОННОГО ПУЧКА В ВОЗБУЖДЕННЫЙ
РЕЗОНАТОР

22.03.84.

г. Дубна, 1983 г.

I

В связи с различными возможностями для физических исследований и практическими приложениями взаимодействию мощных электронных пучков с высокочастотными полями постоянно уделяется большое внимание^{1/}. В частности, не потеряло актуальности исследование взаимодействия высокочастотного поля с отдельным релятивистским сгустком, содержащим большое число частиц.

Ниже проводится модельное (математическое) изучение поведения высокочастотного поля, возбужденного в резонаторе сторонним генератором при влете в резонатор релятивистского электронного пучка.

При инжекции в резонатор релятивистского электронного пучка с коротким фронтом или электронно-ионного слоя в резонаторе возбуждается мощное переходное излучение, которое приводит к деформации исходного распределения энергии вихревого поля в резонаторе.

Целью работы было выделение на этом фоне эффектов, связанных с взаимодействием частиц пучка. Можно предположить, что указанная деформация приведет к пространственному сжатию энергии стороннего поля, (из-за взаимодействия полевых мод резонатора через пучок и переходу энергии поля одних мод в другие). Под пространственным сжатием мы будем понимать увеличение энергии стороннего вихревого поля в единице объема, при этом электронный пучок может играть роль своеобразного поршня. При возбуждении резонатора на основной (нижней) моде под действием пучка энергия может трансформироваться только в высшие моды^{*)}. Представляет интерес количественная оценка

^{*)} Здесь следует заметить, что для описания переходных процессов язык частот не очень удобен, т.к. частота ВЧ колебаний, соответствующая заданному пространственному распространению поля (моде) не фиксирована, а изменяется во время переходного процесса.

этого явления. Можно также проследить за поведением системы если возбуждена одна из высших мод.

В целом все эти вопросы представляются достаточно интересными, чтобы попытаться "увидеть" это на модели.

II

Рассмотрение взаимодействия электронного пучка с возбужденным в резонаторе полем будем вести имитируя пучок системой сгустков-дисков определенного радиуса b рис. I. Радиальную степень свободы считаем "замороженной". Сгустки взаимодействуют между собой и с изображениями в стенках резонатора квазистатически (использована кулоновская калибровка потенциалов), а также через вихревые поля (возбужденные движением сгустков и наведенными в стенках резонатора токами). Кроме того, на их движение оказывает действие поле, заранее возбужденное в резонаторе.

Плотность заряда и ток в имитирующем пучок системе сгустков представляется так:

$$p(t, z, \tau) = \sum_{j=1}^{J(t)} p_{0j} \delta(z - x_j(t)) [\Theta(z) - \Theta(z - b)] \quad (1)$$

$$j_z(t, z, \tau) = \sum_{j=1}^{J(t)} \dot{x}_j(t) p_{0j} \delta(z - x_j(t)) [\Theta(z) - \Theta(z - b)] \quad (2)$$

$$p_{0j} = \frac{q_j}{\pi b^2}, \quad \Theta(\xi) = \begin{cases} 1, & \xi > 0 \\ 0, & \xi < 0 \end{cases}$$

где $q_j = e N_j$ - заряд диска с номером j , $x_j(t)$ - координата центра, $J(t)$ число дисков, находящихся в момент t внутри резонатора.

Квазистатическое взаимодействие дисков, последовательно влетающих в резонатор, было рассмотрено в ^{1/2/}. Здесь приведем сразу выражения для силы, с которой один из дисков, например, с номером j , действует на диск с номером i . Общее выражение силы составляется из суммы таких членов. Итак, имеем

$$F_{II}(x_i, x_j) = \frac{4N_i z_0 N_j}{c^2} \left\{ \begin{array}{l} 1 - \frac{x_j/h}{h}, \quad x_j < x_i \\ - \frac{x_j/h}{h}, \quad x_j > x_i \end{array} \right\} +$$

$$+ \frac{16N_i z_0 N_j}{\pi c^2} \sum_{m=1}^{\infty} \frac{A_m}{m} I_1\left(\frac{\pi m b}{h}\right) \cos\left(\frac{m\pi}{h} x_j\right) \sin\left(\frac{m\pi}{h} x_i\right), \quad (3)$$

$$A_m = J_1\left(\frac{m\pi b}{h}\right) + J_0\left(\frac{m\pi b}{h}\right) I_1\left(\frac{m\pi b}{h}\right) / I_0\left(\frac{m\pi b}{h}\right)$$

z_0 классический радиус.

Для вычисления вихревых полей используем нормированные собственные функции резонатора \bar{A}_λ , $\int_V |\bar{A}_\lambda|^2 dV = 4\pi c^2$, записывая, как обычно, разложение

$$\bar{E}^\perp = -\frac{1}{c} \sum_\lambda q_\lambda \bar{A}_\lambda \quad (4)$$

Связь резонатора с генератором осуществляется с помощью петли связи, охватывающей малую площадь S с центром в точке $Z = z_\pi$, $z = z_\pi$, ($z_\pi \approx a$). Пусть генератор работает на частоте, соответствующей собственной частоте резонатора

$$\omega = c \lambda \varepsilon_m, \quad \lambda_{em} = \sqrt{\left(\frac{v_e}{a}\right)^2 + \left(\frac{\pi m}{h}\right)^2} \quad (5)$$

(v_e , $e = 1, 2, \dots$ $e^{\frac{1}{2}}$ корень уравнения $J_0(\xi) = 0$, $m = 0, 1, 2, \dots$). Тогда для осциллятора поля q соответствующего этой частоте, можно записать уравнение

$$\ddot{q}_\lambda + 2\omega_\lambda \dot{q}_\lambda + c^2 \tilde{\lambda}^2 q_\lambda = \frac{1}{c} \int_V (j_{\text{изв}} + j_{\text{суп}}) \bar{A}_\lambda dV \quad (6)$$

$$\omega_\lambda = \frac{c \tilde{\lambda}}{2 \rho g} \quad (7)$$

ρ_g - добротность резонатора.

Введем переменную $\xi = ct$ и нормируем полевые переменные по формуле*)

$$f_\lambda(\xi) = \frac{c \sqrt{h}}{12 \pi} q_\lambda(\xi) \quad (8)$$

*) Всюду далее будем считать числа частиц N_j в сгустках одинаковыми и положим $N_j = N$.

Тогда, с учетом (2), полную систему уравнений вихревого поля запишем в виде

$$y_{em}'' + \frac{\lambda_{em}}{Qg} y_{em}' + \lambda_{em}^2 y_{em} = - \frac{4\sqrt{2} \Psi_s}{\alpha B \lambda_{em}} \frac{\Im_i(v_e \frac{\theta}{a})}{\Im_i(v_e)} \sum_{j=1}^{J/4} x_j'(\xi) \cos\left(\frac{m\pi x_j(\xi)}{h}\right) + \delta_{ee} \delta_{mm} \Psi_m \frac{2\sqrt{2} S \lambda_{em}^2}{|e| N_a} \left(\frac{v_0}{c}\right) \sin\left(\xi \lambda_{em}^2 + \varphi\right) \cos\left(\frac{m\pi x_e}{h}\right), \quad (9)$$

$$\ell = 1, 2 \dots ; \quad m = 0, 1, 2 \dots$$

В (9) штрихом обозначено дифференцирование по ξ , I_o = амплитуде тока в петле связи, Ψ - фазовый сдвиг работы генератора $\delta_{ss'}$ - символ Кронекера,

$$\Psi_s = \begin{cases} 1 & , \quad s \neq 0 \\ \frac{1}{\sqrt{2}} & , \quad s = 0 \end{cases}$$

Для замыкания системы уравнений надо добавить уравнения движения тех сгустков, которые к моменту времени t находятся в резонаторе. В этих уравнениях учитываем действие квазистатических сил типа (3) и действие вихревого поля (4). Имеем, с учетом релятивистского фактора $(1 - (\frac{v}{c})^2)^{-1/2}$,

$$x_i'' = \left(1 - x_i'^2\right)^{3/2} \left\{ \sum_{j=1}^{J/4} F_{jj}(x_j, x_i) + \frac{4N_{eo}}{Bh} \sum_{e=1}^{\infty} \frac{\Im_e(v_e \frac{\theta}{a})}{\Im_e(v_e) v_e} \Im_e' v_{eo} + \right. \\ \left. + \frac{\sqrt{2}}{\alpha} \sum_{e,m=1}^{\infty} \frac{\Im_e(v_e \frac{\theta}{a})}{\lambda_{em} \Im_e(v_e)} \cos\left(\frac{m\pi x_i}{h}\right) y_{em}' \right\} \quad (10)$$

$$i = 1, 2 \dots J/4$$

Установим начальные условия на полевые переменные $y_{em}(\xi)$. При этом приходится различать момент $t = 0$ ($\xi = 0$), когда внутри резонатора еще не было ни одного сгустка и "промежуточные начальные моменты", в которые происходит запуск в резонатор каждого следующего сгустка. При $t = 0$ принимаются нулевые начальные значения для всех полевых переменных: $y_{em}^0 = 0$, $y_{em}' = 0$ за исключением

осциллятора той моды, на которой резонатор возбуждался генератором. Считаем, что резонансное возбуждение длилось достаточно долго, и к моменту $t = 0$ установилось стационарное состояние:

$$y_{\tilde{e}\tilde{\omega}} = \frac{G}{2\lambda_{\tilde{e}\tilde{\omega}} \left(\lambda_{\tilde{e}\tilde{\omega}}/2a_g \right)} \sin(\lambda_{\tilde{e}\tilde{\omega}} z + \varphi) \quad (II)$$

где

$$G = \Psi_{\tilde{\omega}} \frac{2\sqrt{2} S \lambda_{\tilde{e}\tilde{\omega}}}{|e| N a} \left(\frac{I_0}{c} \right) \cos \left(\frac{\tilde{\omega} \pi z_n}{4} \right) \quad (I2)$$

- амплитуда возбуждающей силы.

Следовательно, начальное состояние этой моды определяется значениями

$$y_{\tilde{e}\tilde{\omega}}^0 = \Psi_{\tilde{\omega}} \frac{2\sqrt{2} S \alpha_g}{a \lambda_{\tilde{e}\tilde{\omega}} |e| N} \left(\frac{I_0}{c} \right) \cos \left(\frac{\tilde{\omega} \pi z_n}{4} \right) \sin \varphi \quad (I3)^*)$$

$$\dot{y}_{\tilde{e}\tilde{\omega}}^0 = \Psi_{\tilde{\omega}} \frac{2\sqrt{2} S \alpha_g}{a |e| N} \left(\frac{I_0}{c} \right) \cos \left(\frac{\tilde{\omega} \pi z_n}{4} \right) \cos \varphi$$

Сгустки запускаются внутрь резонатора с постоянной скоростью $v_0 = c \beta$ (т.е. $\dot{x}_i^0 = \beta_0$) через определенные промежутки $\Delta \xi$. В "промежуточные начальные моменты" состояние системы должно фиксироваться, и все значения полевых переменных, их первых производных, координаты и скорости сгустков в эти моменты служат новыми "промежуточными начальными значениями".

Вместе с запуском нового сгустка увеличивается каждый раз на единицу и число уравнений типа (I0).

Формула для скалярного потенциала для фиксированного момента ξ имеет вид, см. /I/

$$\Phi(\xi, r, z) = - \frac{8 M R I}{\pi B^2} \sum_{j=1}^{y(i)} \left(\sum_{m=1}^{\infty} \left\{ \frac{h}{\pi m^2} - \right. \right. \\ \left. \left. - \frac{e}{m} I_0 \left(\frac{m \pi z}{4} \right) A_m \right\} \sin \left(\frac{m \pi z}{L} \right) \sin \left(\frac{m \pi x_j}{L} \right) \right) \quad (I4)$$

*). Петлю связи обычно устанавливают в пучности поля, поэтому будем считать

$$\cos \left(\frac{\pi m \cdot z_n}{4} \right) = 1$$

В связи с задачей, поставленной во введении, интерес представляет распределение энергии вихревого поля по отдельным группам осцилляторов (мод) для фиксированных моментов времени. Для определенности мы разобьем все рассматриваемые полевые переменные на две группы. С одной стороны, соответствующие собственным частотам резонатора меньшим частоты внешнего генератора: $\omega = c \lambda_{\tilde{e}^{\infty}}$, с другой - всем остальным более высоким частотам, которые удастся проанализировать и охватить численным счетом. Для энергии, соответствующей первой группе, можно записать

$$\omega_1(\xi) = \frac{e^2 N^2}{2h} \sum_{\lambda_{e_m} < \lambda_{\tilde{e}^{\infty}}} (\gamma'_{e_m}^2 + \lambda_{e_m}^2 \gamma_{e_m}^2) \quad (15)$$

Для второй группы

$$\omega_{11}(\xi) = \frac{e^2 N^2}{2h} \sum_{\lambda_{e_m} > \lambda_{\tilde{e}^{\infty}}} (\gamma'_{e_m}^2 + \lambda_{e_m}^2 \gamma_{e_m}^2) \quad (16)$$

Наконец,

$$\Sigma \equiv \omega_{\tilde{e}^{\infty}}(\xi) = \frac{e^2 N^2}{2h} (\gamma'_{\tilde{e}^{\infty}}^2 + \lambda_{\tilde{e}^{\infty}}^2 \gamma_{\tilde{e}^{\infty}}^2) \quad (17)$$

- энергия поля "основной" моды.

Система уравнений (9), (10) является нелинейной, поэтому должна существовать перекачка или обмен энергии в разных спектральных интервалах.

Интересно также рассмотреть временную зависимость распределения энергии вихревого поля по частям объема резонатора, причем кажется более наглядным разделение объема по координате \tilde{z} . При этом, учитывая ортогональность радиальных функций, энергию удобно усреднить по радиальной координате. Это сильно упростит аналитические выражения. В результате, выбрав некоторый шаг $\Delta_1 \tilde{z} = h/k$,

$\tilde{z}_k = k \Delta_1 \tilde{z}; k = 1, 2 \dots K$ получаем

$$\omega_k(\xi) = \frac{1}{h} \int_0^{2\pi} \int_0^{\tilde{z}_K} \int_0^{\tilde{r}_K} (E_z^2 + E_r^2 + H_r^2) d\tilde{z} dr d\theta = \frac{e^2 N^2}{h} \sum_{e=1}^{\infty} \left\{ \sum_{m, m'=1}^{\infty} \frac{\gamma'_{e_m}(\xi) \gamma'_{e_{m'}}(\xi)}{2h^2 \lambda_{e_m} \lambda_{e_{m'}}} \cdot (P^- + P^+) + \left(\frac{\omega_e^2}{2\pi a^2 \lambda_{e_m} \lambda_{e_{m'}}} + \frac{\lambda_{e_m} \lambda_{e_{m'}}}{\pi} \right) \right\}$$

$$\begin{aligned}
 & \cdot (\rho^- + \rho^+) y'_{e_m}(\xi) y'_{e_{m+1}}(\xi) \Big] + \sum_{n=1}^{\infty} \left[\frac{\pi^2 n^2 y'^2_{e_m}(\xi)}{2 h^2 \lambda_{e_m}^2} (z_k - R) + \right. \\
 & + \left(\frac{\omega_e^2 y'^2_{e_m}(\xi)}{2 a^2 h \lambda_{e_m}^2} + \frac{\lambda_{e_m}^2 y'^2_{e_m}(\xi)}{2 h} \right) \times (z_k + R) + \frac{z_k}{h} \left[y'^2_{e_0}(\xi) + \right. \\
 & \left. \left. + \frac{\omega_e^2 y'^2_{e_0}(\xi)}{a^2} \right] \right\}, \quad \text{зде } \rho^\mp = \frac{1}{m \pm m'} \sin \left(\frac{\pi z_k}{h} (m \mp m') \right) \\
 & R = \frac{1}{2\pi n} \sin \left(\frac{2\pi n z_k}{h} \right).
 \end{aligned}$$

В интервале (z_k, z_{k+1}) содержится энергия

$$\Delta \omega = \omega_{k+1}(\xi) - \omega_k(\xi). \quad (I9)$$

Внося незначительные изменения в изложенную аналитическую процедуру, можно рассмотреть другую постановку. В резонаторе, вместо имитирующих пучок сгустков, влетает "двойной слой" – два сгустка, вначале очень близко расположенные друг к другу и противоположно заряженные. В целом пусть система является электрически нейтральной. При этих условиях "ионный сгусток" (остов) является тяжелым и можно считать, что внутри резонатора скорость его остается неизменной, равной начальной.

"Электронный сгусток" движется под действием сил со стороны квазистатического и вихревого полей и, следовательно, при определенных условиях может совершать колебания около (или вблизи) ионного остова. Такая система в какой-то мере имитирует движение металлического поршня в резонаторе и, если как в предыдущей задаче, в резонаторе ранее было возбуждено стороннее поле, то интересна деформация этого поля.

Таким образом, в системе (I0) мы имеем только одно уравнение, а в сумме, определяющей квазистатическую силу, в правой части этого уравнения только два члена: $F_{||}(x_4, x_1)$ ($x = x_1$ – координата центра электронного сгустка) и член $F_{||}(v_0 t, x_2)$, где $x_2 = v_0 t$ определяет координату ионного остова.

Вторая часть силы – сумма по ℓ , и – результат действия полного вихревого поля, учитывается как в предыдущем случае. Начальные условия на стороннее поле (II)–(I3) остаются без изменения. Применимы также уравнения (I5)–(I7) и (I8), (I9).

Однако, для рассмотрения возможности "сжатия" стороннего поля, соотношение (I8) можно еще преобразовать следующим образом. Вместо произвольного положения \tilde{z} , в качестве верхнего предела взять значение $\tilde{z}_k = \frac{\xi}{\beta_0} = t\omega_0$, соответствующее положению "поршня" в данный момент ξ . Теперь $\omega(\tilde{z})$ будет соответствовать энергии поля, локализованного в момент ξ в области сзади поршня. Вычисляя, кроме того, полную энергию вихревого поля во всем объеме резонатора $\omega_{\text{полн.}}(\xi)$ (она представляется суммой выражений (I5), (I6), (I7)) можем получить представление о степени "сжатия" поля перед поршнем. Выпишем еще формулу для распределения энергии какой-либо одной из мод (она получается таким же образом, как (I8))

$$\omega_{e_m}(t) = \frac{2\kappa}{h} \omega_{e_m}^{\text{полн.}} + \frac{e^2 N^2}{2h} \frac{1}{2\pi m} \operatorname{Im} \left(\frac{2\pi i \omega \tau_k}{h} \right) \int \frac{\bar{\lambda}_{e_m}^2}{\lambda_{e_m}^2} y'_{e_m}^2(\xi) + \lambda_{e_m}^2 \tilde{y}_{e_m}^2(\xi) \right], \quad (20)$$

где

$$\omega_{e_m}^{\text{полн.}} = \frac{e^2 N^2}{2h} \left[y'_{e_m}^2(\xi) + \lambda_{e_m}^2 \tilde{y}_{e_m}^2(\xi) \right], \quad \bar{\lambda}_{e_m}^2 = \left(\frac{\omega_0}{a} \right)^2 - \left(\frac{m\pi}{h} \right)^2. \quad (21)$$

Наконец, распределение энергии одного только стороннего поля дается выражением:

$$\omega_{e_m}(\xi) = \frac{2\kappa}{h} \omega_0 + \frac{2S\theta_g}{\pi m h a^2} \left(\frac{I_0}{C} \right)^2 \int \frac{\bar{\lambda}_{e_m}^2}{\lambda_{e_m}^2} \sin^2(\lambda_{e_m}\xi + \varphi) + \cos^2(\lambda_{e_m}\xi + \varphi) \int \sin \left(\frac{2m\pi \xi - \tau_k}{h} \right), \quad (22)$$

$$\omega_0 = \omega_m^0 \frac{4\theta_g^2 S^2}{h a^2} \left(\frac{I_0}{C} \right)^2.$$

III

Для численных расчетов на ЭВМ (ЯС 6500 на основе ^{3/}) была составлена программа на языке фортран. Уравнения (I0) интегрировались методом Рунге–Кутта четвертого порядка. Для уменьшения счетного времени и повышения точности, интегрирование уравнений (9) проводи-

лось следующим образом. Для проведения первых трех шагов был использован метод Рунге-Кутта, а далее интегрирование проводилось АТЭ-алгоритмом^{4/}. Вид правых частей уравнений (9) подсказывает, что они хорошо аппроксимируются тригонометрическими многочленами. Поэтому наряду с классическим трехшаговым методом Адамса, основанным на интерполяции правых частей дифференциальных уравнений алгебраическими многочленами второго порядка (назовем его A - методом Адамса), нами использовались и трехшаговые T - методы и Θ - методы Адамса. Они получаются аналогично выводу A - метода Адамса, но правые части дифференциальных уравнений аппроксимируются соответственно тригонометрическими и экспоненциальными многочленами первого порядка. На основе A , T и Θ - методов Адамса построен комбинированный АТЭ - алгоритм, сущность которого заключается в том, что на каждом шаге интегрирование проводится по одному из A , T и Θ - методов, в зависимости от того, какая интерполяция (алгебраическая, тригонометрическая или экспоненциальная) наилучшая на этом шаге. Здесь укажем только то, что типичное соотношение чисел использования A , T и Θ -методов в алгоритме во всех проделанных нами расчетах для систем (9) следующее: $A:T:\Theta=1:30:8$. Это соотношение и проделанные нами тесты, в которых известно точное решение, показывают, что в наших расчетах интегрирование системы (9) проводится с погрешностью, не превышающей 10^{-6} .

IV

Размеры резонатора приведены на рис. I^{*}).

В большинстве расчетов полагалось число электронов в одном диске равным $N = 5 \cdot 10^{11}$, начальное расстояние между дисками $\Delta z = 0,2$ см, аксиальная скорость пучка $\beta_z = 0,9$ с ($\gamma = 2,3$).

^{*}) При расчетах ограничивались максимальными числами гармоник: радиальных $1 \leq l \leq 5$; продольных $0 \leq m \leq 4$; при принятых размерах резонатора $\omega_{010} = 1,44 \cdot 10^{10}$; $\omega_{023} = 5,8 \cdot 10^{10}$ р/сек.

Это соответствует току пучка 12 кА, реальной плотности частиц в пучке $n = 10^{11}$.

Для определения степени надежности получаемых с помощью данной модели физических результатов было проведено несколько тестовых расчетов в которых изменялась частота расстановки сгустков. Проводилось сравнение результатов получаемых с вдвое более частой ($\Delta\zeta = 0.1$ см) и вдвое более редкой ($\Delta\zeta = 0.4$ см) расстановкой сгустков, ток пучка при этом оставлялся неизменным. Распределение потенциала квазистатического поля Φ_0 (рис.2) отличается в худшем случае во время влета пучка в резонатор и выхода фронта пучка из резонатора на 10%, для других моментов времени $\Delta\gamma(0.4, 0.1)/\gamma(0.2)$ составляет величину меньшую, чем 10^{-2} .

Влияние дискретности распределения плотности в инжектируемом пучке (расстановки сгустков) может сказываться и на степени ударного возбуждения полей в резонаторе, причем наиболее сильно это влияние будет для самых высших мод. Расчеты показали, что амплитуда поля моды E_{054} , имеющей максимальную частоту колебаний из рассматриваемых мод, отличается для случаев $\Delta\zeta = 0.2$ см и $\Delta\zeta = 0.1$ см на 3%. Это связано с тем, что длина волны, соответствующая этой моде, $\lambda = 1.2$ см много больше обычно используемого расстояния между сгустками ($\Delta\zeta = 0.2$ см).

Точность расчетов контролировалась так же уменьшением шага интегрирования.

Анализируя результаты тестовых расчетов можно сделать вывод, что принятый интервал между сгустками $\Delta\zeta = 0.2$ см выбран достаточно хорошим.

Поскольку из всей совокупности мод резонатора учитывались поля 25 первых последовательных мод ($\ell = 1, 2 \dots 5, m = 0, 1 \dots 4$) возникает вопрос о достаточности этого количества мод для описания системы. Было проведено сравнение распределения энергии поля в резонаторе ω_t , рис.3 (см. формулу I9) для момента времени $T = 0,5$, когда

фронт пучка прошел меньше одной десятой высоты резонатора, для двух случаев – обычно используемого и удвоенного числа мод. В обоих случаях перед фронтом пучка появляется "шлейф" поля, которого не должно быть поскольку вихревое поле еще не успевает к этому моменту времени проникнуть на такое расстояние. Видно, что увеличение числа мод не приводит к уменьшению энергии поля "шлейфа". Шлейф связан с тем, что при вычислении энергии поля не учитывался вклад от квазистатического поля пучка, которое в совокупности с вихревым должно погасить поле в области перед фронтом пучка.

Таким образом выбранное число осцилляторов является достаточным для описания длинноволновых колебаний в системе.

Относительно постановки задач заметим еще следующее. С помощью метода макрочастиц достаточно хорошо^{/5/} описываются длинноволновые колебания в пучках в случае, если частота столкновений макрочастиц, увеличенная по сравнению с частотой столкновений реальных частиц в ω раз (где ω – коэффициент укрупнения – число "реальных" частиц в одной крупной) остается меньше плазменной частоты.

О выполнении критерия судят по скорости ~~разбега~~ монохроматического пучка. Следует, однако, учитывать, что для одномерных моделей скорость релаксации зависит не от парных, а от значительно более редких тройных столкновений, поэтому существенным может оказаться также учет коллективных волновых процессов. Чтобы как-то ориентироваться относительно параметров последних, попытаемся оценить линейные электродинамические свойства пучка.

Плазменная частота, соответствующая реальной плотности частиц пучка n оказывается равной ($\gamma = 2,3$)

$$\omega_p = \sqrt{\frac{4\pi e^2 n}{m_0}} = 2.8 \cdot 10^{10}$$

Будем теперь считать, что сплошной пучек радиуса $2 = b$ движется внутри цилиндрического кожуха того же радиуса ($2 = a$), что и рассматриваемый резонатор. Для диэлектрической постоянной такой системы можно записать

$$\epsilon = 1 - \frac{\omega_p^2}{\chi_a^2 / (\omega - \kappa_a U_0)^2},$$

где связь между продольным волновым числом $K_{||}$ и ω задается дисперсионным уравнением (см^{6/})

$$\frac{\sqrt{\epsilon} I_1(\beta \sqrt{\epsilon} q)}{I_0(\beta \sqrt{\epsilon} q)} = \frac{I_1(\epsilon q) K_0(q) + K_1(\epsilon q) I_0(q)}{I_0(\epsilon q) K_0(q) - K_1(\epsilon q) I_0(q)}$$

$q = \sqrt{k_{||}^2 - k^2}$, $k = \frac{\omega}{c}$, v_0 - невозмущенная скорость частиц пучка.

В окрестности интересующей нас частоты ω , равной собственной частоте резонатора $\omega_{res} = 1,44 \cdot 10^{10}$, из дисперсионного уравнения находим два решения $k_{||}^{(1)} = 0,7146$, которому соответствует длина волны в системе пучек-волновод ($\sim e^{i(k_{||} z - \omega t)}$) $\lambda_{||}^{(1)} = 8,8$ см и $k_{||}^{(2)} = 0,9421$, $\lambda_{||}^{(2)} = 6,7$ см. При этом соответствующие значения $\epsilon_1 = -21,5$, $\epsilon_2 = -3,40$ оказываются отрицательными. Т.о. в линейном приближении в длинном пучке электромагнитная волна может распространяться только вместе с возмущением среды (пучка частиц), и при данных параметрах, но при ограниченных продольных размерах системы, должна была бы запираться.

Наконец, вопрос о сравнении столкновительно-релаксационных свойств модели и "реальной системы" оценивался также "экспериментально": при пропускании через резонатор 200 дисков с коэффициентом укрупнения 10^{12} монохроматичность пучка сохранялась еще достаточно.

У.

Проводить анализ распределения полной энергии вихревого поля в резонаторе наиболее удобно сравнивая два случая - возбуждение резонатора пучком "невзаимодействующих" (Н.) частиц, т.е. пучком частиц пролетающих через резонатор с постоянной скоростью и взаимодействующим (В.) пучком. Фронт пучка может входить в резонатор в различных фазах внешнего поля $\Psi_H = 0$ - ускоряющей электроны пучка и $\Psi_H = \pi$ - тормозящей пучок. На рис.4 приведены результаты расчетов. Видно, что кривые похожи, уровень возбужденного поля для (В.) частиц несколько меньше. Это связано с тем, что скорость

частиц уменьшилась из-за того, что они отдали энергию полю, меньше стал ток пучка и, соответственно, степень ударного возбуждения резонатора.

Перед фронтом пучка формируется "волна энергии" поля переходного излучения, наиболее сильно возбуждается основная мода резонатора $E_{0,0}$, имеющая однородное распределение поля вдоль оси, неоднородность распределения поля связана с возбуждением высших типов колебаний.

Интересно сравнить распределение энергии вихревого поля в резонаторе предварительно возбужденном от стороннего генератора. На рис.4 приведены результаты.

Вклад в энергию поля от моды $E_{0,0}$ растет со временем, существенных отличий в распределении поля (Н.) и (В.) частиц нет, что связано по-видимому с тем, что частота моды $E_{0,2,3}$ близка к плазменной частоте пучка, за время пролета пучка через резонатор поле просто не успевает перестроиться.

Распределение энергии поля в этот же момент времени $T = 5$ для инжекции (Н) пучка в невозбужденный резонатор дано на рис.5. Начальный уровень энергии поля, соответствующий напряженности 240 кВ/см равен $\omega_t = 5 \cdot 10^5$ эрг. Таким образом к моменту времени $T = 5$ (рис.5))энергия поля, оставленная пучком в резонаторе превышает уровень поля, возбужденного в резонаторе сторонним генератором. Уровень поля возбужденного в резонаторе (В) частицами меньше (рис.5) и "волна" энергии поля перед фронтом пучка имеет меньшую амплитуду. Последнее связано с тем, что происходит расфазировка излучения и фронтовых частиц которые движутся по сложному закону, определяемому действием кулоновского и высокочастотного поля.

Возвращаясь к задаче поставленной во введении можно видеть, что быстро движущийся ($\beta = 0,9$) редкий ($\omega_{n,a} = \omega_{p,3}$) электронный пучок, имитируемый системой дисков, инжектируемых в резонатор при

выбранном диапазоне параметров не приводит к сжатию предварительно возбужденного в резонаторе поля и не является электромагнитным поршнем. Значительное дальнейшее увеличение числа N частиц в дисках сверхвыбранного диапазона оказывается затруднительным, т.к. пучек начинает запираться вследствие образования виртуального катода.

Рассмотрим движение в резонаторе двойного электронно-ионного слоя, содержащего равное число противоположно заряженных частиц в сгустках. Положительно заряженный сгусток – ионный движется с постоянной скоростью $v = 0,1$, электронный испытывает действие кулоновских сил, стороннего поля и поля излучения. Для уменьшения степени ударного возбуждения резонатора электронный и ионный сгустки запускаются в резонатор одновременно с одинаковой начальной скоростью. Считалось, что в резонаторе с помощью стороннего генератора возбуждено поле 50 кВ/см на mode E_{023} , фаза влета сгустков $\varphi_i = 0$, т.е. электронный сгусток ускоряется в начальный момент полем стороннего генератора.

В деформации стороннего поля фронтом пучка существенна роль радиальных токов. Действительно, например, в дипольном приближении интенсивное излучение возможно лишь в направлениях перпендикулярных направлению колебаний диполя. В наших моделях радиальное движение "заморожено" и при оценке мы можем учитывать только то, что радиальное распределение заряда (дисковая структура) приводит и к некоторому угловому распределению интенсивности излучения. Грубую оценку можно сделать, используя для дальней зоны формулу

$$\vec{E}' = \frac{1}{c^2 R_0} (\vec{\alpha} \times \vec{v}_i) \times \vec{v}_i, \quad (\text{см. } /6/, \text{ стр. 213, 1960г.}),$$

где для дипольных колебаний заряженного диска радиуса b :

$$\vec{\alpha} = \frac{d}{dt} \left(\sum_j e_j \vec{r}_j \right) \sim \int_0^{2\pi} \int_0^b \left\{ \dot{r}(H, \vartheta(H)) \sigma(r) r dr d\vartheta \right\}$$

$\sigma(r) = \frac{Ne}{\pi r^2} = \text{const}$ Т.к. радиальное движение заморожено, то $\dot{r} \equiv 0$, $\vec{\alpha} = e \vec{A}_0$. Если стороннее поле есть $E_0 = \omega t$, то

$\ddot{E} \sim \frac{e}{\omega} E_0 f_{\text{шт}}$ и для полного поля в некоторой точке наблюдения с полярными координатами R_0, θ, φ ($0 \leq \varphi \leq 2\pi$) получится

$$E_2 + E_2' \sim E_0 \left(1 - \frac{N_20}{R_0} \sin^2 \theta \right) \sin \omega t, \quad (20 = \frac{e^2}{mc^2})$$

Отсюда имеем оценку $\frac{N_20}{R_0} \sin^2 \theta \sim 1$, которая допустима, если $(B, 2\pi f_{\text{шт}}) \ll R_0$, т.е. $\frac{2\pi c}{\omega} \ll \frac{R_0}{L}$. При $\frac{e}{R} \sim 0,2$, $R_0 = 15$ см получаем $N \sim 10^{15}$.

Расчеты проводились для нескольких значений числа частиц в сгустках $N = 8 \cdot 10^{\text{и}}$ ($i=13, 14, 15, 16$). Минимальное число частиц в сгустках выбиралось таким образом, чтобы частота колебаний "электронов" относительно движущихся с постоянной скоростью "ионов" несколько превышала частоту колебаний на моде E_{023} . Радиус сгустков был увеличен до $L = 4,9$ см. Результаты приведены на рис.6 для двух значений времени.

Как видно из этих графиков двойной слой так же как и фронт пучка не приводит к сжатию поля. Можно отметить, что с увеличением числа $N > 10^{16}$ начинает появляться раскачка колебаний электронного сгустка около ионного.

На рис.7 приведен график энергии основной моды для (Н) и (В) частиц.

Кажется странным, что график накопления энергии вихревого поля определенной моды (на рис.7 – это основная мода) имеет осциллирующий характер. Упрощая задачу, можно, однако, рассмотреть этот вопрос аналитически на примере влета в "холодный" резонатор сплошного заряженного пучка с резким передним фронтом, движущимся с постоянной скоростью v_0 . Тогда, согласно (6), полагая для простоты $\Omega_0 = \infty$, на основной моде имеем:

$$\ddot{q} + \omega_{10}^2 q = \begin{cases} 4v_0 t & \text{при } 0 < t \leq L/v_0 \\ A h & \text{при } t > L/v_0 \end{cases} \quad (23)$$

где $A = \text{const}$. Отсюда при $t < \frac{L}{V_0}$ (пока фронт пучка не достиг противоположной стенки резонатора) для энергии осциллятора при

$q(0) = 0, \dot{q}(0) = 0$ получаем

$$2\omega(t) = \dot{q}^2 + \omega^2 q^2 = \frac{V_0^2 A^2}{\omega^4} [2 + \omega^2 t^2 - 2 \cos \omega t - 2\omega t \sin \omega t]$$

(опущен индекс у ω_{10}). Величина $\omega(t)$ не имеет относительных максимум или минимумов, а лишь точки перегиба: $t_n = \frac{2\pi n}{\omega}$, $n = 1, 2, \dots$ (если $t_n < \frac{L}{V_0}$). При этом $2\omega(t_n) = \frac{V_0 A^2}{\omega^4} (2\pi n)^2$. Т.о. график $\omega(t)$ при $t < \frac{L}{V_0}$ - неубывающая ф-ция, имеющая вид как на рис.7б.

При $t > \frac{L}{V_0}$, т.е., когда фронт пучка уже прошел через резонатор, а в резонаторе продолжает идти "сплошной ток", из (23) находим

$$2\omega = \dot{q}^2 + \omega^2 q^2 = 2A V_0 q + \text{const}$$
 (24)

В координатах $\frac{\dot{q}}{\omega}, q$ на фазовой плоскости (24) есть уравнение окружности с центром, смещенным в точку $\frac{\dot{q}}{\omega} = 0; q = \frac{A V_0}{\omega^2}$. В силу смещенности этого центра, при движении изображающей точки по этой фазовой окружности величина q изменяется периодически с частотой ω в пределах $q_{\min} \leq q \leq q_{\max}$. Отсюда следует, что $\omega(t)$ при $t > \frac{L}{V_0}$ имеет осциллирующий характер.

Часть расчетов была проведена с исключением квазистатического взаимодействия между сгустками, имитируя инжекцию пучка в плазму и нейтрализацию объемного заряда. На рис. 8 проведено сравнение результатов расчетов для таких квазивзаимодействующих (КВ) и (В) частиц. Видно, что поведение кривых подобно.

При инжекции таких (КВ) частиц в резонатор наиболее сильно возбуждается основная мода (рис.9). В результате расфазировки частиц осцилляции энергии основной моды (ср. с рис.7) со временем уменьшаются, энергия высших мод имеет тенденцию к росту.

Независимо от фазы влета пучка после переходных процессов энергия возбужденной моды E_{023} монотонно уменьшается (рис.10).

Такое уменьшение энергии мы объясняем затуханием Ландау и ускорением в среднем частиц пучка.

Различие в поведении (H) и (B) частиц особенно хорошо видно из графиков приведенных на рис.II. До момента времени $T = 5$ сумма энергий высших мод определяется ударным возбуждением резонатора. Увеличение этой суммы для (B) частиц по сравнению с (H) частицами объясняется тем, что в течение времени $T = 8+16$ стороннее поле ускоряет частицы пучка, которые и генерируют поле высших мод. При этом энергия основной моды уменьшается (рис.I2) растет энергия и самих высших мод (кривая 2, рис.I2).

Для другой фазы влета фронта пучка поведение основной моды приведено на рис.I3. Так~~как~~^{так} и на рис. II-I2, рост энергии высших мод особенно значителен в течение времени когда частицы пучка ускоряются полем основной моды. Интересно сравнить кривые 2 и 3 на рис.I3, которые соответствуют одной и той же энергии высших мод, но 2 соответствует предварительно возбужденному резонатору. Таким образом можно говорить о трансформации энергии основной моды в высшие при инжекции (B) частиц в резонатор.

Л И Т Е Р А Т У Р А

1. А.С.Рошаль, Моделирование заряженных пучков, М., Атомиздат, 1979.
2. Доля С.Н. и др. ОИЯИ, РII-82-230, Дубна, 1982.
3. Семерджиев Х.И. ОИЯИ, II-82-739. Дубна, 1982.
4. Жидков Е.П., Семерджиев Х.И., ОИЯИ, РII-82-857, Дубна, 1982.
5. Махоньков В.Г., Полляк Ю.Г. Препринт ОИЯИ, РII-8245, Дубна, 1974.
6. Даусон Дж. Физика пучков заряженных частиц. М., Мир, 1980.
7. Ландау Л.Д., Лифшиц Е.М. Теория поля, М., 1960.

ПОДЛИСИ К РИСУНОКАМ

Рис. 1. Схема численного эксперимента.

Размеры резонатора $a = 5$ см, $h = 5$ см.

Радиус дисков $b = 3$ см, расстояние $\Delta \xi = 0,2$ см.

Рис. 2. Распределение электростатического потенциала φ вдоль оси резонатора для нескольких моментов времени. На правых графиках точками и крестами указаны отклонения потенциала $\Delta \varphi$ от этих значений для расстояний между дисками $\Delta \xi = 0,1$ и $\Delta \xi = 0,4$ см.

Рис. 3. Распределение энергии вихревого поля ω_L (определение см. в тексте) в резонаторе в момент времени $T = (c^2) = 0,5$. 1 - в расчетах учтены 25 осцилляторов поля, 2 - 50 осцилляторов.

Рис. 4. Распределение ω_L в резонаторе для (Н) и (В) сгустков. Кривые 1 и 2 - ударное возбуждение резонатора, 3 - 4 - резонатор предварительно возбужден на моде E_{023} (до уровня 50 кВ/см). Кривые 5 и 6 отвечают этим же распределениям в более поздний момент времени. Начальная фаза влета пучка в резонатор $\varphi_H = 0$.

Рис. 5. Распределение ω_L в резонаторе для $T = 5$. Кривая 1 - ударное возбуждение резонатора (Н) - частицами. Кривые 2 и 3 - инжекция (В) частиц в возбужденный на основной моде резонатор до уровня 240 кВ/см. Кривая 2 - $\varphi_H = \pi$, 3 $\varphi_H = 0$.

Рис. 6. Распределение ω_L в резонаторе.

Рис. 7. а) Зависимость от времени энергии основной моды E_{10} (определение см. в тексте). Инжекция в невозбужденный резонатор 1 - (Н) и 2 - (В) частиц.

б) Характер нарастания энергии основной моды при инжекции сплошного пучка ($t < h/v_0$).

Рис. 8. Зависимость от времени $\Sigma \epsilon_{e_n}$ и $\sum \epsilon'_{e_m}$ (сумма энергий осцилляторов всех мод, кроме первой) для А - квазивзаимодействующих (KB) и Б - (B) частиц.

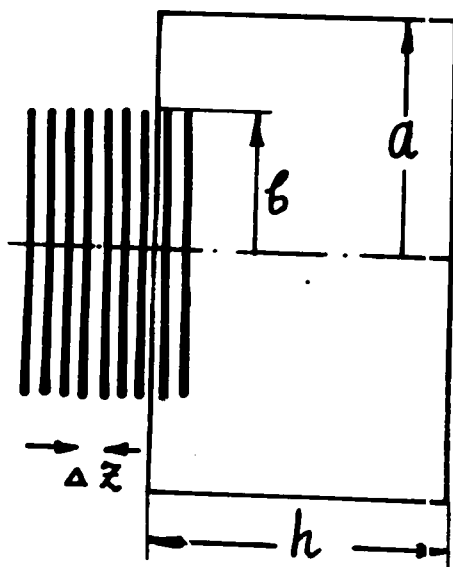
Рис. 9. Зависимость от времени суммы энергий мод Φ_1 (кривая I) имеющих частоту меньшую выделенной (E_{o23}) и суммы энергий мод Φ_2 (кривая 2) (увеличенена на три порядка) имеющих частоту большую чем для E_{o23} для (KB) частиц.

Рис. 10. Зависимость от времени энергии моды E_{o23} , возбужденной от стороннего генератора, при инжекции в резонаторе (KB) частиц. Кривая I - начальная фаза $\Psi_0 = 0$, кривая 2 - $\Psi_0 = \pi$

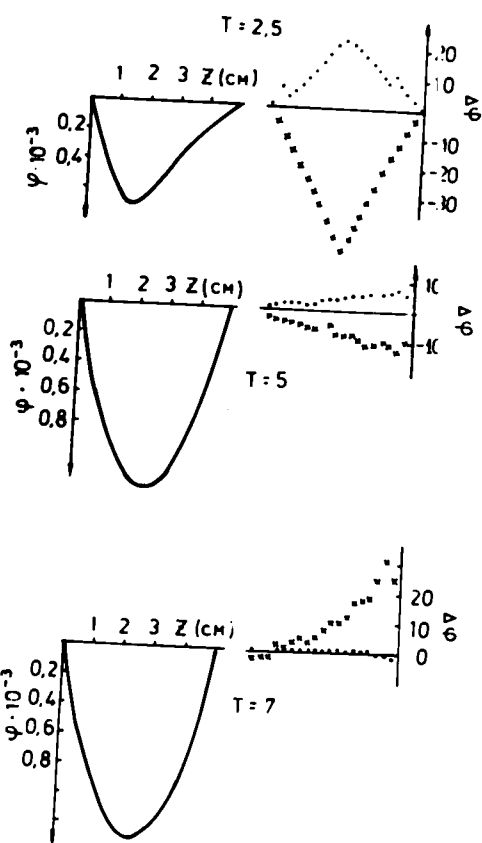
Рис. II. Поведение суммы энергий всех мод кроме первой. Кривая I - инжекция (H) частиц. Кривая 2 - (B) частицы, резонатор возбужден на основной моде, $\Psi_0 = \pi$.

Рис. I2. Зависимость от времени энергии моды ϵ_{o0} (кривая I) и Φ_2 (увеличенено в 10^3 раз) при инжекции в возбужденной на основной моде резонатор (B) частиц, $\Psi_0 = \pi$.

Рис. I3. Зависимость от времени энергии моды ϵ_{o0} (кривая I), и энергии всех мод кроме первой $\sum \epsilon'_{e_m}$ (кривая 2) (увеличенена в 10 раз) при инжекции (B) частиц в возбужденный на основной моде резонатор, $\Psi_0 = 0$, 3 - поведение $\sum \epsilon'_{e_m}$ при инжекции (B) частиц в не возбужденный резонатор.



Puc. 1



Puc. 2

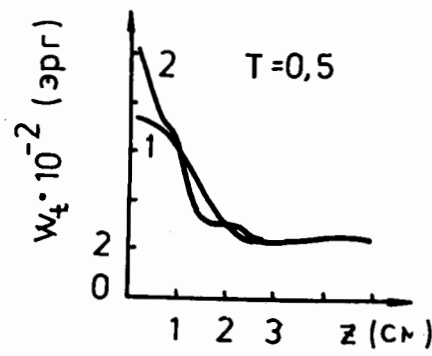


Рис. 3

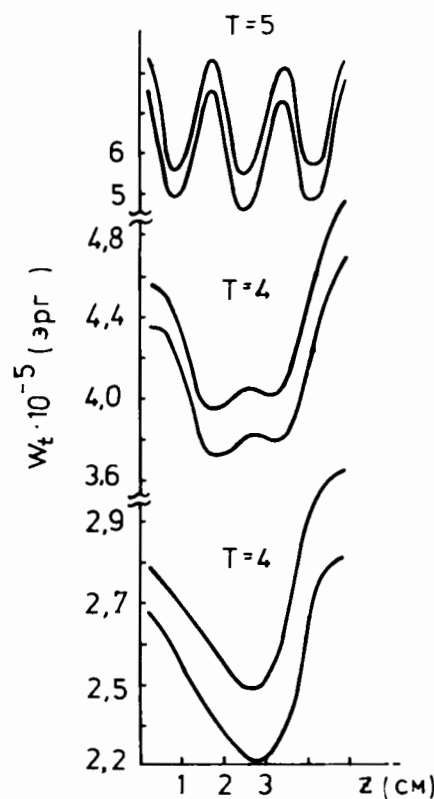


Рис. 4

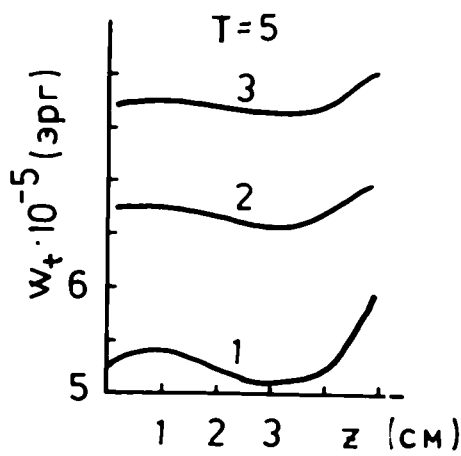


Рис. 5.

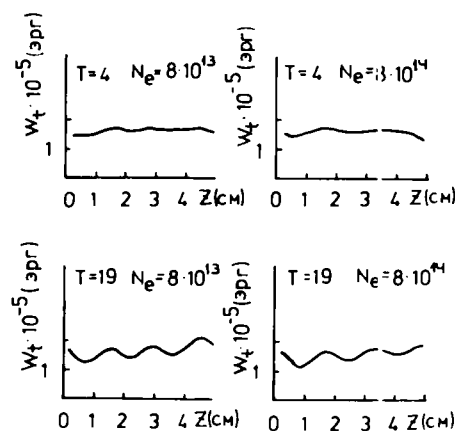


РИС. 6

Рис. 6

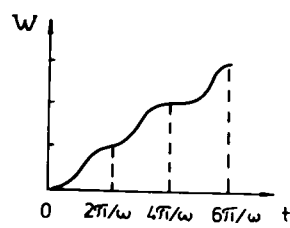
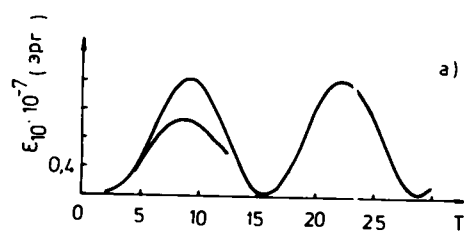


РИС. 7

Рис. 7

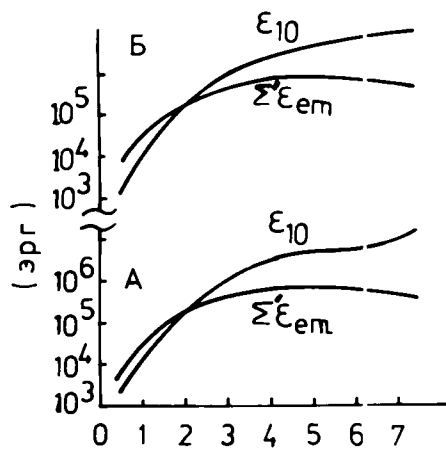


рис. 8

рис. 9

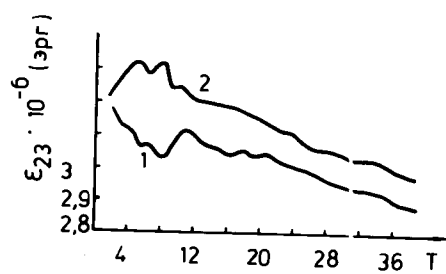


рис. 10

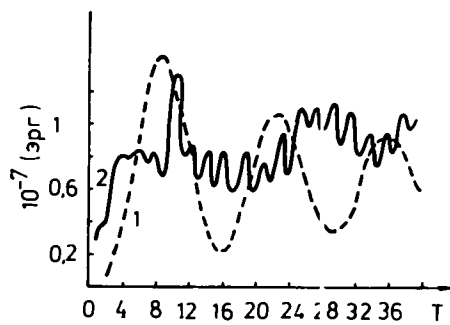


рис. 9

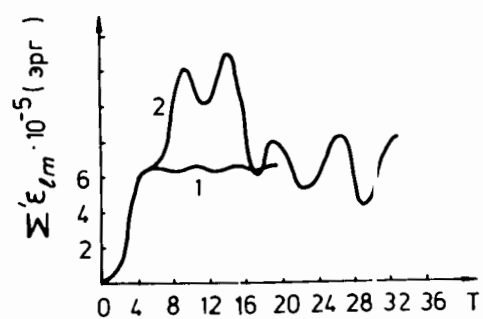


Рис. 11

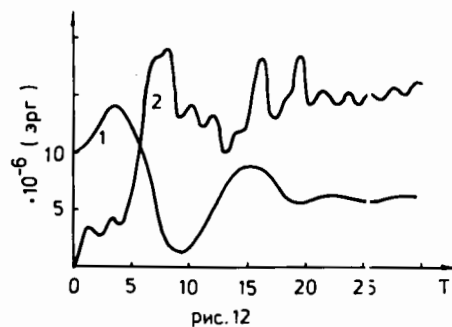


Рис. 12

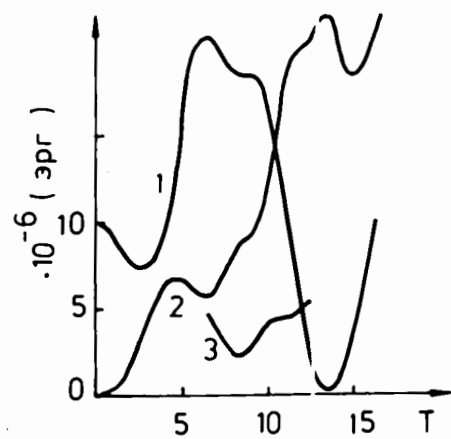


Рис. 13